

The Shipbuilding Research Centre of Japan

No. 70

次●

NOBS(ノンバラスト船)海外講演

page 1

船型設計システムを活用した 船型開発について

page 2

日本造船技術センターにおける

具体的なCFD計算例(その4) page 4

双胴型高速船「すずかぜ」が就航 -海上アクセス松阪ルート-

page 6

規則動向と船体構造の変遷

page 8

NOBS(ノンバラスト船)海外講演

(その2)

page 10

実海域における推進抵抗増加率について

(試算例)

page 11

テクノオーシャン2006に参加して

page 12

NOBS(ノンバラスト船) 海外講演



去る10月、英国ロンドンにてIMO第 55回海洋環境保護委員会(MEPC)と同 時に開催されたJETROジャパンシップセ ンター主催の国際協調海事セミナーに招 かれ、(財)日本造船技術センターの職員 がNOBSについて講演を行いました。続 いて同地において英国王立造船学会 (RINA) のセミナー及びロイドリストの バラスト水マネジメント国際会議におい ても同様の講演を行いました。

NOBSに関しては、平成17年度までの 3年間、特に大型タンカーを対象とする 国土交通省の技術開発プロジェクトが (財)日本船舶技術研究協会の場で推進さ れ、その開発研究の成果については既に 公表されているところですが、海外にお いて講演が行われたのは今回が初めてで あり、プレスや船主筋等から大きな関心 を集めました。その背景としては、今回 のMEPCにおける協議等を通じ、バラス ト水管理条約の適用開始年(2009年) が迫っているにもかかわらずバラスト水 処理装置の開発が期待通り進んでいない 状況が強く認識されたことがあるものと 思われます。

当センターにはこの講演会の後も海外 から問合せが寄せられていますが、これ を機に国内外での開発意欲がさらに促進 されることを願っています。

財団法人日本造船技術センター

〒112-0004 東京都文京区後楽2丁目1番2号 興和飯田橋ビル7階 TEL 03-3868-7122 FAX 03-3868-7135

試験センター

〒181-0004 東京都三鷹市新川6丁目38番1号 (独)海上技術安全研究所2号館内 TEL 0422-24-3861 FAX 0422-24-3869 The Bublic Ledge

Ballast water set to disappear with next generation NOBS

But cost rather than compulsion will decide whether non-ballast water ship concept will ultimately float, writes Tony Gray

THE age of non-ballast water ships could soon be dawning after five years of development in Japan.

Tushu Washio, of the Shipbuilding Research Centre of Japan, says

project involved maintaining the stion in "very rough" wes length overall, draught and dead-

船型設計システムを活用した 船型開発について

1. 船型設計システム

(財)日本造船技術センター(以下SRC)が開発している船型設計システムは、SRCが保有する膨大な船型データや水槽試験結果を数値化し、ニューラルネットワークや統計解析により簡便に利用できる形としたデータベースを核に、新たに開発中の数値線図創生手法、種々の最適化手法やCFDと組み合わせ、熟練技術者でなくとも簡便にかつ短期間で船型設計を行えるシステムを目指すものです。このシステムの概要についてはSRCニュース68号で紹介していますが、今回はこの設計システムを使用して行った、船型開発についてご紹介します。

2. 船型開発の流れ

SRCが船型開発を行う場合、

- (1) 推進性能試験を行った結果、推進性 能が要求性能に達していなかった
- (2) 原型となる船型が、要求性能を達成できる見込みが立たない
- (3) 仕様書の数値のみ存在し、具体的船型が無い

といったような状況が想定されます。

船型設計システムはどのような状況か らでも柔軟に対応できます。(3)の場 合は例えば要求仕様をもとに船型設計シ ステムより最適主要目を計算し、生成さ れる標準船型パラメータ(C_p, C_wカーブ 等)から線図創生と船型最適化を開始し ます。(2)では、依頼者より提供され る船型オフセットを入力し線図創生と船 型最適化を始めます。実船建造可能なレ ベルまで設計が進んでいる(1)の場合 は、設計変更可能な部分が限れているこ とが予測されます。従って水槽試験結果 やCFD計算により船型の問題点を把握 し、依頼者と討議の上、変更可能な範囲 を設定することが重要になります。設計 システムではその結果に対応した制約条 件を設け、最適化を開始することとなり ます。

3. 船型開発例

ここで紹介する船型開発の例は小型貨物船で、船主の要求により決定した船型主要目等が造船所既存のデータ範囲から離れていたため船型計画、性能推定に困難が生じたケースです。前章で言えば(2)に相当します。

3.1 初期検討

供試船型の主要目比等を表-1に示します。SRCではこの主要目に基づき、いくつかの手法を用いて概略の性能推定を行いました。

表-1 概略主要目

L/B	約5.0
B/d	約2.5
DW	約9,000ton
設計速力	約12.5kt

この結果得られた計画速力における制動馬力を図ー1に示します。ちなみに本船型はL/Bが小さくかつ設計フルード数が大きいため、本船型設計システムのデータベースから見てもデータの少ない範囲にあり、性能推定や最適化の際、工夫を要する船型でした。

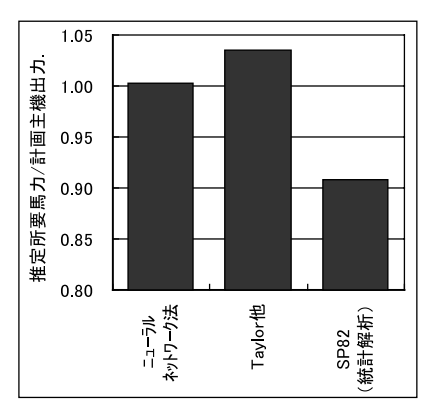


図-1 制動馬力初期検討(Vs=1 2.5kt)

図-1は計画主機出力(85%MCR, 15% S.M)を1.0として表示していますが、SRCが開発した統計解析による推定手法であるSP82以外では推定値が1.0を超えており、計画速力の達成が難しいことを示しています。SP82による

推定結果も、本船の主要目がSP82の母集団から外れており、推定精度上問題があるものと考えられます。

3.2 最適化と船型設計

船型設計システムを用いた船型開発は 以下の手順で進められました。

- ① 造船所から提出されたタイプシップ から船型パラメータを抽出する。
- ② 抽出した船型パラメータを遺伝子と して、遺伝的アルゴリズムを用いて Cp, Cwカーブ、船首尾プロファイル の最適化を行う。
- ③ 概略線図創生システムを用いて、最適なCp, Cwカーブ、船首尾プロファイルを持ったフレームラインを創生する。
- ④ 制限条件、最適化条件等を変更し、 ②、③を繰り返し、検討用の複数の 船型を創生する。
- ⑤ ②~④の手順と平行して④で創生した船型について復原性能、配置等の チェックを行う。
- ⑥ 採用船型を決定し、水槽試験で性能 を確認する。

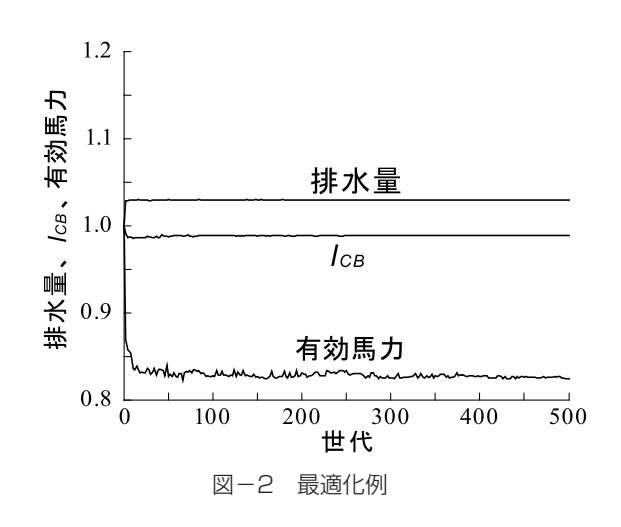
船型設計システムには、現状ではまだ、フレームラインの最適化は含まれていません。従って今回は③の段階で数種のフレームラインを創生しCFD計算を参考に比較検討しています。

表-2に、設計した船型群とその特徴を示しました。M3およびM4は遺伝的アルゴリズムを持ちいてCp, Cwカーブを最適化し、タイプシップの傾向に沿ってフレームラインを作成したもの、M6以後はCFD計算結果を眺めながらフレームラインを変更したシリーズです。

図-2に最適化による船型と馬力の変化を示します(原型を1.0として表示)。これは有効馬力を目的関数にしたM3の例です。原型の排水量は3%程度目的とする排水量より小さいのですが、最初の3世代で目的とする排水量の99.9%に達しています。また有効馬力の最小値は66世代目で得られていますが、この時は排水量が目標値に0.05%足りなかっ

表-2 船型設計結果

	C _p カーブ	Cwカーブ	フレームライン	
原型	依頼者提供			
МЗ	排水量一定の条件で 有効馬力が最少とな	船尾バトックフロー 化、船首フレーム		
	lcBは自由		ラインを整える	
M4			M3と同傾向、 C _w 肩をやや落とす	
M6	・ 排水量一定の条件で	でFn=0.18において なるように最適化。 労制限	CFD結果を検討し 船尾流線改善	
M8	制動馬力が最少とな		M6の傾向を強める	
M9	l_{CB} を		M8の傾向を踏襲	
供試船型			M9をベースにエンジン 配置を考慮し、船尾 フレームラインを調整	



たため最適値となっていません。最適値は425世代目に得られており、この時の排水量は目標値の100.01%、有効馬力は先に得られている最小値に対し+0.5%、原型に対し-17.3%となっています。最適船型の1cBは原型に対し1.2%Lpp程度後方に移動します。かなり細かい話をしましたが、図-2でも分かるとおり、100世代以後の変化はわずかで、得られる有効馬力のバラツキも最適値の0.3%にすぎず、有効馬力の推定精度以下の話です。従ってこの船型の最適化は100世代程度で充分であったといえます。

ところでこのM3船型で配置をチェックしたところ、バラストタンク配置の関係でlcaをここまで後ろにできないことがわかりました。そこでlcaを制限し、また目的関数も制動馬力に変更し、再度最適化を行ったものがM4船型で、その後のフレームライン創生はこのM4船型をベースとして行いました。図ー3にこれらの船型の馬力推定結果を示します。図ー1に示した推定結果に比べ、入力する船型パラメータが増え、より詳細な推定が行えるようになっているため、原型は図ー1の値と異なった数値となっています。最終的に改良船型M9では原型に比し約8%の性能改善が得られています。

3.3 採用船型の決定と水槽試験

図-3で提案したM9船型につき配置 や復原性能をチェックしたところ、機関 室配置が厳しいことが分かりました。このため、M9のCp, Cwカーブをできるだけ保ったまま、船尾フレームラインを機関室配置に問題のないM3に近づける方向で調整した船型について水槽試験を行いました。

図-3には水槽試験結果より得られた制動馬力も併せて示してあります。図を見ても分かるように、計画速力における供試船型の制動馬力は、計画主機出力より8.5%低減されています。また計画主機出力での到達速力は計画値12.5ktに対し12.8ktを達成しました。試運転状態においても保証速力に対し+0.7ktを達成しています。

4. おわりに

船型設計システムは開発途上のシステ

ムではありますが、今回示したように、現状でも充分その成果を享受することが可能です。今後の課題は、線図創生法や性能推定手法、最適化法を充実・高度化するとともに、より使いやすいシステムとするため、種々のユーザーインターフェースを整えることと考えています。そのためにもSRCユーザーの皆様のご協力のもと、今回のような実船船型開発への適用を積極的に行い、課題の抽出と解決を積み重ねていきたいと考えています。

なお今回ご紹介した事例は、(株)カナサシ重工殿のご協力によるもので、貴重な資料の公開に同意戴いたカナサシ重工殿に感謝するとともに、船型開発に当たりお世話になった、同社福味副部長、塚本係長に御礼申し上げます。

(試験センター技術部 金井)

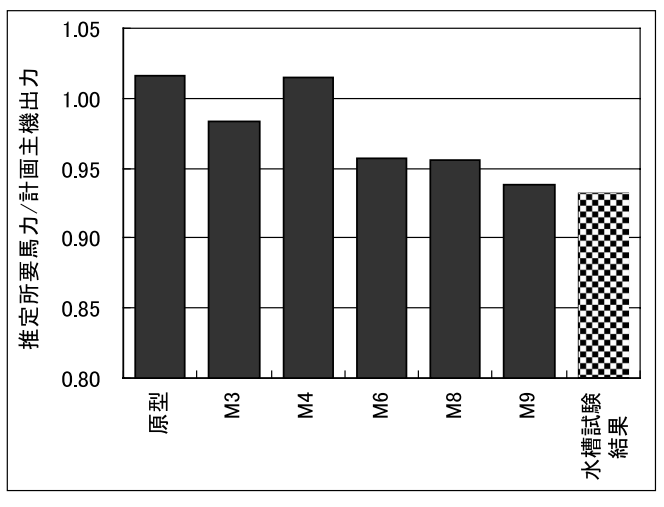


図-3 制動馬力の比較

日本造船技術センターにおける 具体的なCFD計算例(その4)

今号では前号に引き続きCFDの計算を 紹介いたします。

1. 造波抵抗計算への応用例

○ 造波抵抗の計算方法

NEPTUNEコードによるC_Bが0.5程度の痩せ型船4ケースの計算結果です。 4ケースともほぼ同じサイズの船型ですが、C_Bを含めた主要目がそれぞれ少しずつ異なっています。ではまず、造波抵抗の計算方法についてご説明いたします。

(財)日本造船技術センターでは造波抵抗係数を求める際に、所謂3次元外挿法を用いて造波抵抗Rwを求めています。これは、全抵抗を以下のように造波抵抗と粘性抵抗に分ける考え方です。

全抵抗 =
$$(r_W \nabla^{2/3}_F + (1+K) C_{f0} S_F/2) \rho U^2$$

ここで、 $\underline{r_w}$:造波抵抗係数、 ∇_F :満載排水容積、 \underline{K} :形状影響係数、 C_{fo} :平板の摩擦抵抗係数、 S_F :浸水表面積、 ρ :水の密度、U:船速です。

水槽試験では、低速航走時(Fn=0.1 以下)には造波抵抗が無視できるほど小さいと仮定し、低速航走時の全抵抗から Kを求め、さらにある程度フルード数が 高くなってもKは一定であると仮定し全抵抗からrwを求めます。

CFDでも同様の手順で、まず波無しの 二重模型流れを計算条件とする全抵抗計 算結果からKを求め、波を伴う条件での 全抵抗計算結果から造波抵抗計数rwを求 めます。

○ 造波抵抗係数の4船型間の差

形状影響係数Kの計算結果を試験結果と比較し図ー1に示します。既存の試験結果と同じ傾向の計算結果であり、CFDで事前に傾向を検証することができることが分ります。

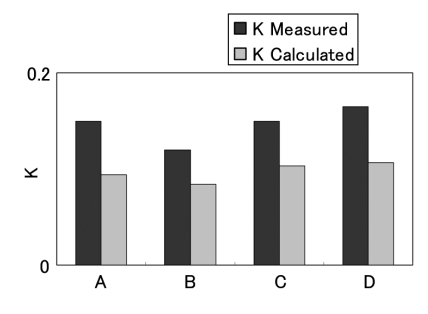


図-1 NEPTUNE二重模型流れ 計算によるK

図-2、3に造波抵抗係数を示します。 1+Kと同様に、試験結果と同じ傾向の計 算結果が得られている事が分かります。

この例のほかにも造波計算は多数行っておりますが、それらの結果からも、 NEPTUNEは船型間の造波抵抗の相対 的な評価をする際に有用なツールと考え られます。

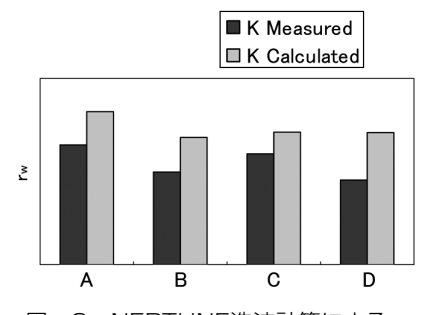


図-2 NEPTUNE造波計算によるrw (Fn=0.24)

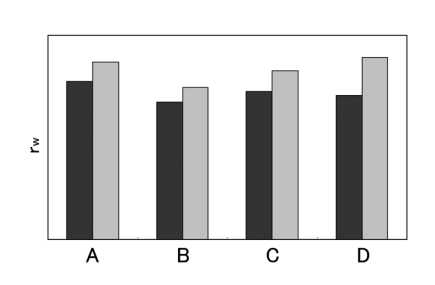


図-3 NEPTUNE造波計算によるrw (Fn=0.26)

2. バラスト状態のCFD計算

○ バラスト状態の推進性能

今号までCFD計算例を紹介して来ましたが、全て満載状態です。満載状態の推進性能は第1義的に重要ですが、タンカーなど満載状態とバラスト状態が半々で運航されるような船ではバラスト状態の性能も満載状態と同じくらい重要となります。

バラスト状態では、喫水が浅く、すな わちB/dが非常に大きい、満載状態とか なり異なる流場となります。プロペラの 没水深度も浅くなるので、船尾流れの状 態によっては空気吸い込み現象を発生す る可能性もあります。また、トリムによ り抵抗特性や船尾流場特性が影響を受け るので、その点にも留意する必要があり ます。また、船首波が砕波したり、バル ブの上に波が被さったりする事がしばし ば発生し、CFDにおいて自由表面と格子 を一致させるNEPTUNEでは格子の捩 れが大きくなり計算が不可能となること があります。その場合はSURFのように 自由表面に対して格子が固定されるよう な計算手法を用いる必要があります。も ちろん、波無し流れの場合は、バラスト 状態だからと言って特別な難しさはあり ません。

○ バラスト状態の計算例の紹介

肥大船型2ケースのバラスト状態の形状影響係数を波無し計算で求めた例を紹介します。なお、計算に使用したのはNICEコードです。図-4の縦軸に水槽試験結果と横軸に計算結果のBLモデルによる1+Kの相関を示します。

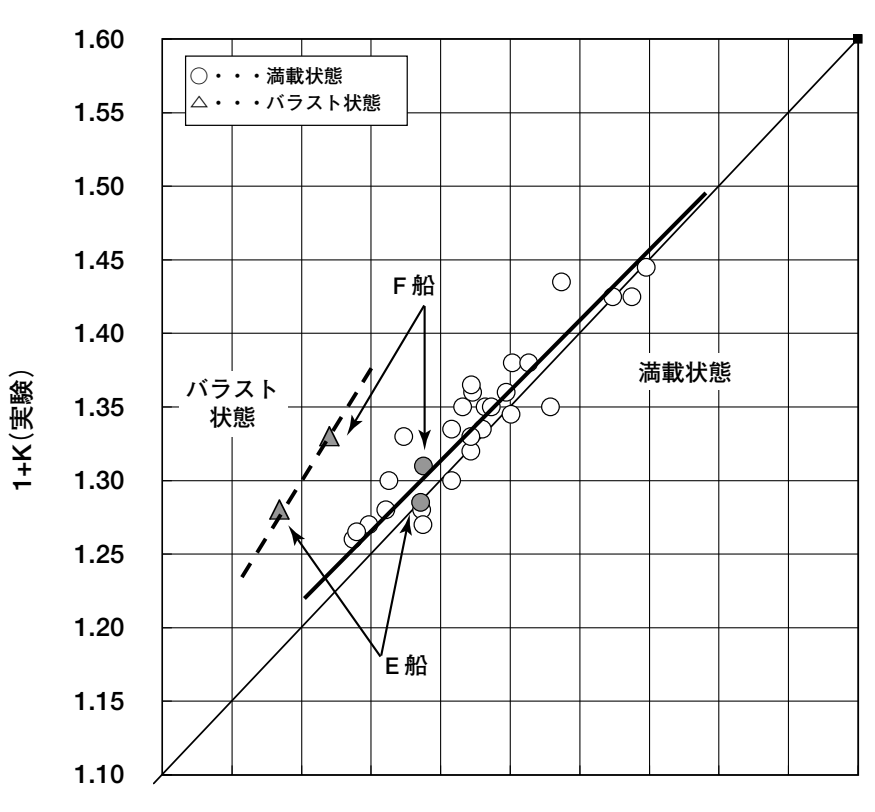
今回は2つの船型(E船、F船)を対象に計算を行い、それぞれ満載状態とバラスト状態の結果を灰色のマークにて示しました。なお、白抜きの丸印は満載状態のみ計算を行った他の船型の計算結果を参考として併せて示したものです。

これを見ると満載状態では計算値は実験値と比べて全般的に小さくなる傾向がありますが、バラスト状態の計算値はさらに実験値より小さめになっています。

上記2船型のうちE船の伴流分布計算 結果を図-5に示します。バラスト状態 では伴流の形状が満載状態と違っている 事がよく分かります。

当センターではバラスト状態のCFD計算例はまだ少ないが、将来的には満載状態だけでなくバラスト状態についてもCFDで評価検討を行うつもりです。

(試験センター技術部 新郷)



1.10 1.15 1.20 1.25 1.30 1.35 1.40 1.45 1.50 1.55 1.60

1+K(計算BLモデル)

図-4 1+Kの相関 (NICEコードBLモデル)

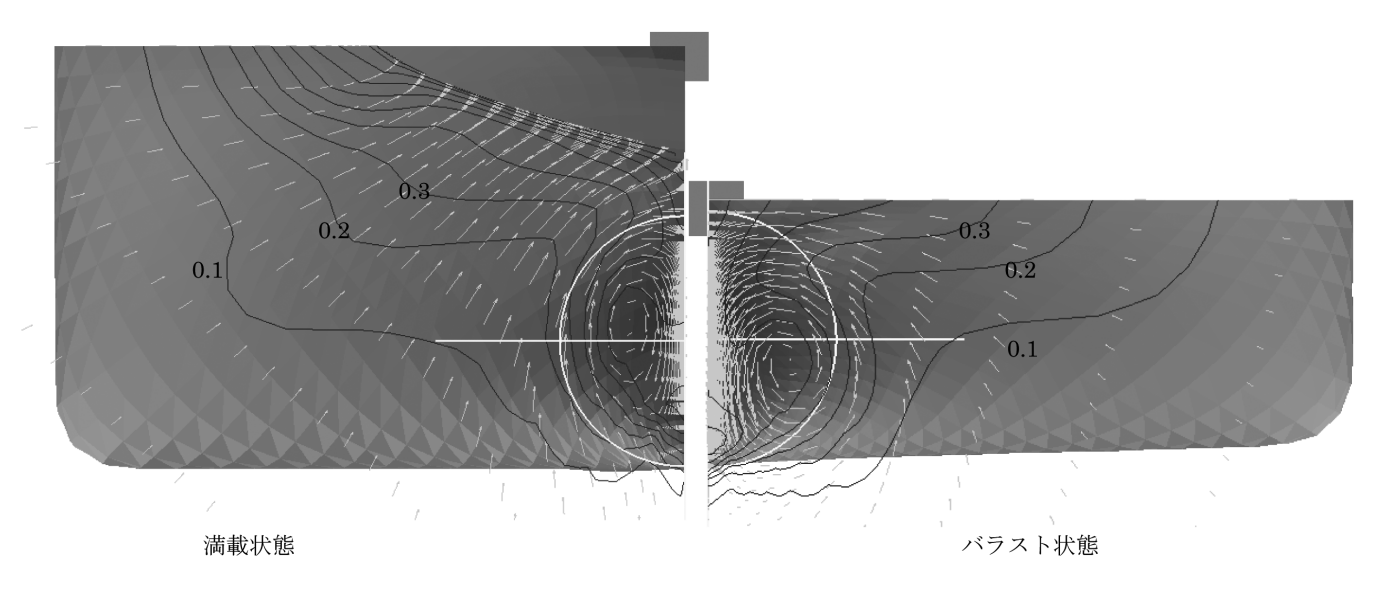


図-5 伴流分布計算結果 (MBLモデル)

双胴型高速船「すずかぜ」が就航 -海上アクセス松阪ルートー



1. はじめに

平成18年12月20日、南三重の玄関口・松阪港とセントレア(中部国際空港)を結ぶ海上アクセス松阪ルート(松阪ベルライン)が誕生し、双胴型高速船「すずかぜ」が就航した。

本船は、松阪市が発注して常石林業建設株式会社(現ツネイシホールディングス株式会社)で建造され、松阪高速船株式会社により運航されている。

所要時間約45分で松阪港〜セントレア旅客ターミナル間を結んでおり、利便性や優美な外観と快適な居住空間で利用客の好評を得ている。

(財)日本造船技術センターは本船の基本設計と建造監理を実施したので、以下に本船の概要を紹介する。

2. 基本コンセプト

- 定時運航の維持
- 安全の確保
- 優美な外観
- 快適居住空間の提供
- 乗り心地の良い船
- 交通弱者に優しい船
- 漁業者に配慮した曳き波の軽減

3. 船舶の概要

(1) T 程

			ハワノフワー	4 11 13	I T/
I	平成18年 4月27日		救命・消防設備		1式
水	平成18年11月22日		デフロスター		1式
I ·	平成18年12月16日		(4) 機関部主要機器		
就 航 平成18年12月20日		操舵室制御盤		2台	
(2) 主要目			機関室警報盤		2台
質	アルミ合金製		甲板機械操作鹽	Ž	1台
長	31.50m		主機関 高速ラ	ディーゼル機関	2基
長さ	29.90m		連続最大出力	1,320 kW/	基
(型)	11.00m		発電用機関	56kW	1基
(型)	8.30m		i	28kW	1基
製水	2.65m		5翼固定ピッチ	ープロペラ	2個
ノ数	132 トン		油水分離器		1台
区域	平水区域		機動通風装置		4台
東力	31 ノット		ポンプ類		1式
最大搭載人員 111名			(5) 電気部主要	幾器	
客	108名		1) 電源装置·	配電装置	
員	3名		主発電機	60kVA	1台
体部主要	機器		非常用発電機	30kVA	1台
養置		2台	変圧器	10kVA	1台
用ウイン	チ	2台	蓄電池	200Ah	4群
キャプスタン 2		2台	蓄電池充放電影	置	2台
ランプドアー(両舷)		2台	陸電受電箱	220V	1式
減揺装置(可動式トリムタブ)		1式	2) 航海灯・照	明装置	
房装置		4台	航海灯類		1式
	一水工航要質長支型型水数域力載客員部置ウプラー水工航目を登型型水数域力載客員部置ウタア(ラー・イタア)のでは、東京の東京の東京の東京の東京の東京の東京の東京の東京の東京の東京の東京の東京の東	水 平成18年11月26 平成18年12月16 航 平成18年12月26 東京 平成18年12月26 東京 第1.50m (型) 第1.00m (型) 8.30m (型) 8.30m (型) 8.30m (型) 8.30m 2.65m /数 平水区域 東方 111 名 名 108 名 員 31 人員 111 名 名 108 名 員 3 名 株器 関ウイタン プドア (可動式トリムタブ)	水 平成18年11月22日 工 平成18年12月16日 航 平成18年12月20日 要目 質 アルミ合金製 長 31.50m 長さ 29.90m (型) 11.00m (型) 8.30m (型) 8.30m (型) 8.30m (型) 8.30m 2.65m /数 132トン 平水区域 表力 31 ノット 芸載力 31 ノット 芸載力 31 ノット 芸載力 31 ノット 芸載力 3名 体部 第 3名 体部 ま 108名 員 3名 体部 ま 108名 員 31.50m (型) 8.30m 2.65m 2.65m 2.65m 2.65m 2.7 × 区域 表面力 3名 (型) 111名 名 3名 (型) 111名 名 2台 2台 プドアー(両舷) 2台 元プドアー(両動式トリムタブ) 1式	水 平成18年11月22日	水 平成18年11月22日 デフロスター エ 平成18年12月16日 (4)機関部主要機器 航 平成18年12月20日 操舵室制御盤 要目 機関室警報盤

汚物処理装置

バリアフリー設備

1台

1 =t

キセノン探照灯	1台
投光器	4台
3) 航海計器·通信装置等	
磁気コンパス	1台
レーダー	1台
船舶自動識別装置(AIS)	1台
GPS航法装置	1台
サテライトコンパス	1台
船内放送指令装置	1式
応信信号装置	1式
電子ホーン	1台
船内電話装置	1式
国際VHF無線電話装置	1台
非常警報装置	1式
自動火災報知器	1式
監視カメラ装置	1式
ワイパー	5個
真風向風速計	1台
テレビ・情報表示装置	1式

4. 特徴

(1) 高速化と曳き波対策

旅客定期航路に就航する船舶において は定時運航の維持が最優先課題である。 本船は、建造所の積極的な取り組みによ り数種の模型船による水槽試験を実施した結果、最適な船型を求めることができ、計画速力を満足するとともに、曳き波の軽減が図られ、航路周辺に従事する漁民への安全対策が十分配慮されている。

また、航行区域が平水区域であるにも かかわらず、各種の航海・通信装置を装 備し、航行上の安全確保に万全な対策が 講じられている。

(2) 優美な外観の追求

旅客船の場合、集客要素の一つに外観 及び内装の美しさがあげられる。

本船は、船舶に対する松阪市の斬新的な考え方やオーストラリアのデザイナーによるアイデアを採用し、優美なシルエットを有するとともに、内装及び客室配置面でも旅客に対して十分満足いただける居住空間を提供している。

(3) 乗り心地

本船は航路の特性から船舶に不慣れな 乗客が多く利用することが予想される。 このため、船酔い対策として、ピッチン グ及びローリングの同時制御が可能な減 揺装置(可動式トリムタブ)を装備し、 海上試運転においてもその効果が認めら



れており、乗り心地に配慮した船舶である。

また、ハニカム材や客室内に二重ハッチ構造を取り入れ、十分な騒音・振動対策が施されている。

客室は、広めの通路と椅子席の採用、 ソファースペースの配置などにより、ゆ とりのある居住空間を提供している。

更に、テレビ兼用の大型運航情報モニターを装備しており、くつろげる船旅と 必要情報の入手が可能である。

(4) 交通弱者に優しい船

客室両舷にはバリアフリー法適合の十分な広さのランプドアーを設置し、旅客の乗降時の安全を確保するとともに、乗降時間の短縮が図られている。

バリアフリー椅子席の前面にはテレビ 兼用の大型モニターを設置し、出入り口 近くに車椅子置き場を設けている。

また、ベビーシート装備のバリアフリー法適合多目的便所、女性用便所、男性用便所を配置するとともに、音響・音声案内装置を設備して、交通弱者の方々でも満足のいく船旅ができるよう配慮されている。

5. おわりに

本船の基本設計・建造監理を進めるに あたり、常に積極的なご支援とご高配を 賜りました松阪市殿、江崎汽船株式会社 殿に対し厚くお礼申し上げます。

また、ツネイシホールディングス株式 会社殿が、高度な技術と誠意をもってご 尽力頂いたことを付記します。

(海洋技術部 太田)





規則動向と船体構造の変遷

現在、国際海事機関(IMO)でゴールベースの新造船構造基準(GBS)の策定、規則化が検討されています。また国際船級協会連合(IACS)はタンカーとバルクキャリアーを対象に共通構造規則(CSR)を作成し2006年4月から施行しています。

こうした新規則の誕生が船体構造をどのように変えていくのか、船型計画等に どのような影響があるのか気になるとこ ろです。

船殻設計の専門家はよくご存知でしょうが、ここでは一般の方にもわかるよう に解説してみたいと思います。

1. 船体構造の特徴を一言でいうと・・

船の長さが300mを超えるような巨大なタンカー(VLCC)の外板や上甲板には20~30mmと非常に薄い板厚の鋼板が使われています。板だけでは船体に作用する荷重に耐えられないので、縦通肋骨(間隔0.9~1m)や横桁材(間隔5.5m前後)を配して丈夫な構造となるよう設計されています。またすべての構造部材が鋼製なので溶接により効率よく製作されます。

こうした船体構造の特徴を一言で表す とすれば「薄板防撓溶接鋼構造」と言え るのではないでしょうか。

「薄板防撓溶接鋼構造」を適用することで軽量な船体構造を実現できます。船は浮力で浮いているので軽量化により多くの貨物を積載できるという経済的効果にも「薄板防撓溶接鋼構造」は寄与していると言えるでしょう。

2. 事故・損傷が規則をつくる

1997年にロシア船籍のナホトカ号が時化の中を航行中に、突然船体がふたつに折損するという事故を起こしました。船体後半部は沈没しましたが、船体前半部は漂流し福井県三国町に漂着しました(写真-1)。

この事故で積荷の重油約6,240klが海上に流出し環境に大きな打撃を与えました。

ナホトカ号は建造後26年でかなりの 老齢船であったと言えます。



写真-1 漂流するナホトカ号の船首部

ナホトカ号以外にもタンカーの代表的な事故がありました(表 - 1)。いずれも規則に大きな影響を与えた事故で、座礁と荒天中での船体折損に大別できます(表の例以外に衝突事故もあります)。

座礁/衝突等による事故を契機に流出油を最小とすべくIMOでは「海洋汚染防止条約(MARPOL)」の中で①から③へと順次規則を制定し施行してきました。即ち、

- ① 貨物タンクが破れても流出油量がある値以下となるようにする。
- ② 貨物タンクが海水に接する部分の面積がある値以下となるようにする(PL)。
- ③ 貨物タンクが海水に接する範囲をまったくなくす。

このような規則要件を満たすために

- ① 貨物タンクの仕切り壁を増やす。
- ② バラスト専用タンク (SBT) を設備 配置する。
- ③ 二重殻構造にする。

というようにタンカーの船体構造が順次

変化しました。

一方、荒天中での船体折損の多くは、 ナホトカ号のような老齢船で発生してい ます。

「貨物タンク構造に腐食や疲労亀裂のような損傷が内在し船体強度が低下した 状態で大きな波浪荷重を受けて船体折損 にいたる」といったパターンです。

例えば、上甲板部の縦通肋骨の腐食衰耗(図-1A)や、船側の縦通肋骨の疲労亀裂(図-1B)があります。

ちなみに中央の図はVLCCの船体構造 の鳥瞰図で、図-1A、図-1Bの具体的 な場所を示しています。

図-1に示すような腐食や損傷は発生 したとしても、通常は定期検査で発見され必要な補修・補強を施すことで航海中

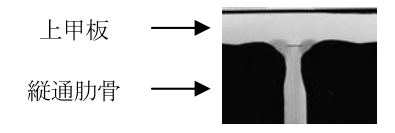
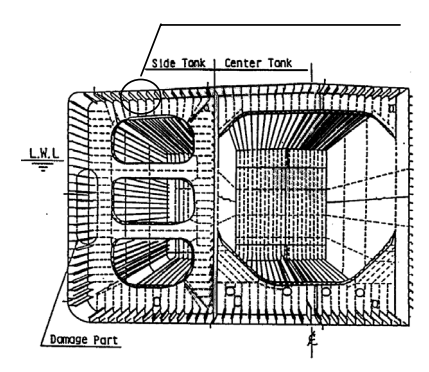


図-1A 上甲板縦通肋骨の腐食状況例



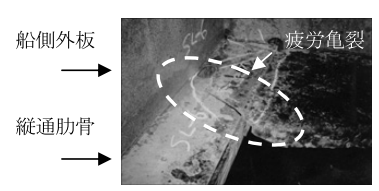


図-18 船側縦通肋骨の疲労亀裂例

表-1 主要なタンカー事故と被害

発生年	船名	発生場所	事故状況	流出油量(トン)
1978	Amoco Cadiz	仏、ブルターニュ沖	操舵装置故障で漂流、座礁、破口	223,000
1989	Exxon Valdez	米、アラスカ	座礁、破口	37,000
1993	Braer	英、シェットランド沖	機関故障で漂流、座礁、破口	84,700
1999	Erika	仏、ビスケー湾	荒天下、船体折損、沈没	20,000
2002	Prestige	スペイン北岸沖	荒天下、船体折損、沈没	63,000

の船体構造の健全性が維持されています。

しかし、検査・保守管理が不十分で腐 食や損傷が放置されると老齢化に伴い大 事故につながっていきます。

検査を容易にするために、点検用の固 定足場の増設が「海上における人命の安 全のための国際条約(SOLAS) におり こまれました。

一方、IACSは腐食に対する板厚のマ ージン (腐食予備厚) の見直し、船齢を 25年とした疲労設計の導入等を織り込 んだCSRを作成施行することで腐食や 疲労損傷に対し新造時の船体構造寸法に 冗長性を持たせました。

3. タンカーに見る船体構造の

IMO/MARPOLの前節に述べた「①→ ②の規則変化 | でタンカーのタンク配置と 船の深さが大幅に変わりました(図-2)。

図中右欄の②を適用した設計では大き な専用バラストタンク (×印のタンク) を左右舷にそれぞれ2個配置し規則要件 を満足させています (SBT/PL)。

バラストタンクの容積が増えた分だけ 船の深さが深くなっています。喫水線下 の船体形状やタンクの構造様式はそれほ ど変わりませんが、構造部材の形状や寸 法が変わってきました。

図-2の中央に横桁材の外形と構造寸 法を、図-2の下表に上甲板の板(DK. PL) と縦通肋骨 (DK. LONGL) 及び船底 外板の板 (BTM. PL) と縦通肋骨 (BTM. LONGL)の部材寸法を示しています。

これらは所謂、船体縦強度に寄与する 部材ですが船体の増深により板厚は薄く てすむようになりました。

しかし、薄いと圧縮力に対する座屈強 度が重要になります。座屈設計といった 構造設計法も構造諸元の変化に伴い高度 化してきました。

なお、現在の新造タンカーは二重殻構 造となっています。

4. 気になる船体構造重量

② SBT/PL 船

前節でみてきたように、規則が変わる、

あるいは新しい規則ができると船体構造 部材が増える、船体構造重量(船殻重 量: HNSW)が増えるような気がします。

一方で、船殻設計の専門家は新技術や 合理的な設計法の導入をはかりHNSW の低減に貢献してきました。

溶接の容易な高張力鋼(TMCP鋼)の 開発・船体構造への広範囲適用、FEM 等を用いた直接強度計算に基づく設計法 の開発・設計への適用といったことがあ げられます。

VLCCを例に、縦軸にHNSWあたり の載荷重量(DWT)をとり時代の流れ に沿ってどう変化したか見てみました (図-3)。

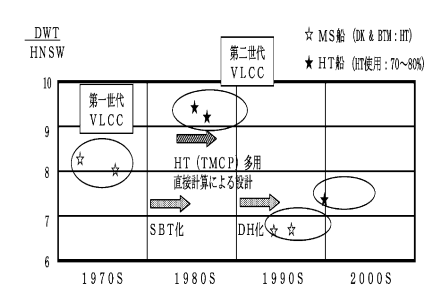
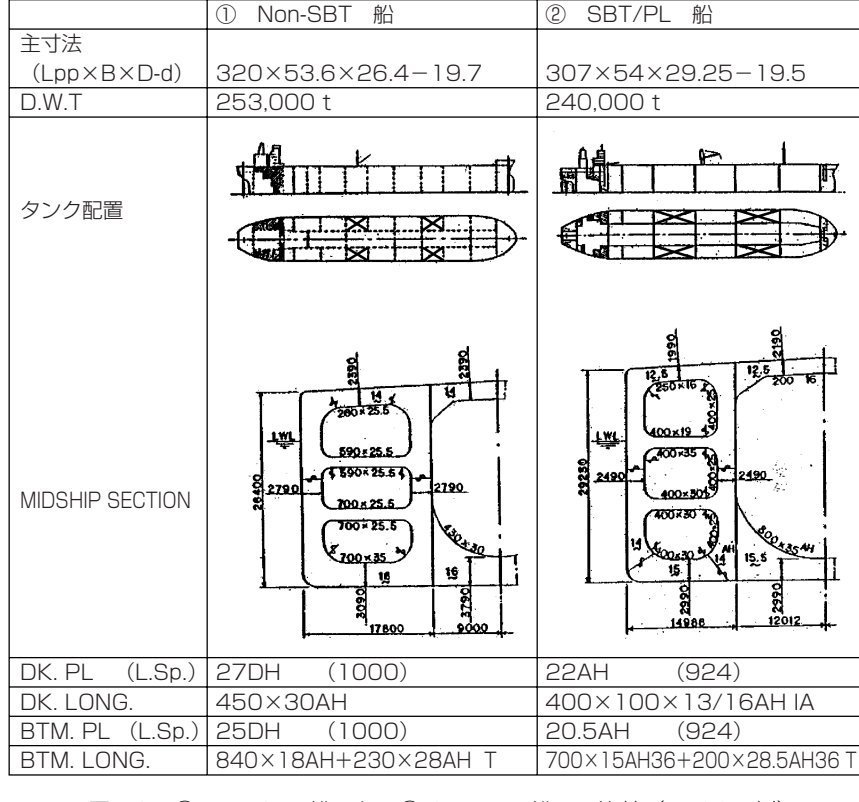


図-3 主要イベントと船殻重量の変化

DWT/HNSWが大きければ軽量化が 進んでいる船、より多くの貨物が運べる 船ということになります。

規則による重量増と技術進歩による軽 量化が追っかけごっこをしているように 見えます。もっとも最近の固定足場要求 やCSR適用による部材寸法要求に対し ては、今のところこれをコンペンするよ うな軽量化のネタはなさそうです。

船型計画の観点から見ると、HNSW は満載時の排水量の10数%ですから、 HNSWが10%変化しても排水量は1~ 2%変化する程度なので、ドラスティッ クに船型が変わるということはなさそう ですが、HNSWが増える場合には肥大 度が大きくなるので船型を工夫して性能 を維持・改善していくことが必要になり ます。



船

図-2 ① Non-SBT船 と ② SBT/PL 船 の比較 (VLCCの例)

(技術開発部 末岡)

NOBS (ノンバラスト船) 海外講演 (その2)

1. 概要

表紙に掲載されている英国ロンドンに おけるノンバラスト船についての講演活 動等について、もう少し詳しく報告いた しましょう。

ロンドンは既に初冬の様相を呈していましたが、2006年10月9日~18日の間、当センターから職員2名が派遣され、計4回の講演を行い、2誌のプレスインタビューに対応いたしました。

講演は、"IMO (国際海事機関)のMEPC (海洋環境保護委員会)、RINA (英国王立造船学会)の Lunchtime Seminar(2回)、Lloyd's List主催のBallast Water Management Conference 2006"の3つの会場で計4回実施いたしました。プレスインタビューはMotor Ship誌、Lloyd's List誌の2誌に対応しました。因みに海外の雑誌への掲載は既に本年6月のNaval Architect誌他にも詳しく掲載されていますので興味のある方は是非ご覧ください。

2. 活動報告

各講演は合計持ち時間45分程度でありましたが、全ての講演において会場はほぼ満員の盛況であり、各方面から活発な質疑が行われました。尚、今回の講演については事前にJETROロンドンのJapan Ship Centreより案内のちらしが海事関係機関に配布されたことも功を奏したようです(図参照)。

最初の講演はIMO/MEPCにて行いました。会場は環境保全に関係するメンバーが多く、ほぼ満席であり、質問がいくつか寄せられましたが、想定範囲でしたので、問題なく対応する事が出来ました。次にRINAのLunchtime Seminarですが同じ内容のものを続けて2回行う形式で、英国では一般的に行われる講演形式との事でした。最後はLloyd's List主催の Ballast Water Management

Conference 2006でしたが、ここには船主の他、バラスト水処理技術に関わる機関や企業の関係者が多数出席しており、好評でした。どの会議でも講演の後で直接の質問がなされました。ここにその質問とそれに対する回答のいくつかをご紹介します。

- Q1. NOBSの船幅増加に伴うインフラ変更への影響についてどう考えるか。
- A1. コンテナ船時代の始まりと同様にイ ノベーションが図られればインフラ は自ずから解決されていくのではな いでしょうか。
- Q2. バラスト水を一時的に積む事について、どう思うか。
- A2. NOBSは基本的にはバラストを搭載する必要はありません。しかし、荒天時、入渠時や岸壁での喫水調整、タグボートによる曳航時に一時的にバラスト水を積む事ができるべくスペースを確保しています。これは、海域間で移送されないので環境への影響はありません。荒天時のバラスト積載については、退避航路の選択も可能なので、殆ど積載する事はないと考えています。この荒天とはB.S.8、有義波高6m以上を考えています。
- Q3. NOBSコンセプトはコンテナ船や バルクキャリアへの適用は可能か。
- A3. NOBSコンセプトの適用はコンテナ船や他の船種へも可能です。在来船の復原性を改善し、さらに積貨重量の増加が期待できます。

以上の講演と平行して2誌のプレスインタビューに対応しました。Lloyd's List誌では、トップ記事として扱われ、Motor Ship誌についても後日掲載されるとのことでした。特に「このような良いコンセプトの実現にはまず1隻でいいから建造実績を作ることだ」というコメントは印象的でした。インタビューの他

にもTradeWindsを始めインターネット のウェブサイトでの紹介もなされ、所期 の目的を果たせたのではないかと思って います。

帰国後は、海外の複数の機関からノン バラストに関する資料の提供要請があっ たり、問い合わせや面談を求める希望な どに順次対応しているところです。

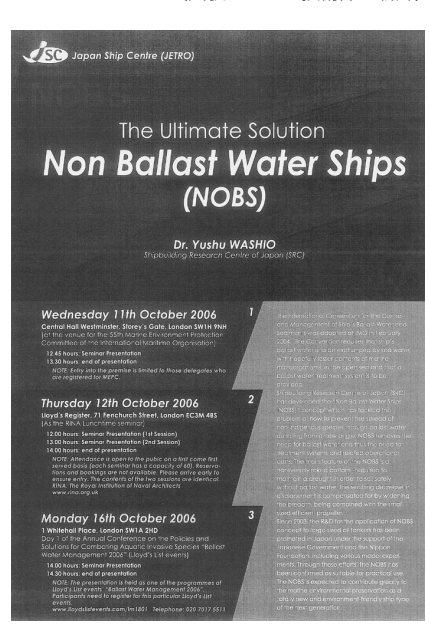
3. 所感

講演やインタビューを通じて、世界の 海事産業関係者のNOBSに対する関心が 予想外に大きい事が感じられましたが、 これは一方で、バラスト管理条約の発効 に向けて処理装置についてIMO/MEPC の最終的な認証を与えられた物がまだ無 く、製品の実現化も見通しが立っていな いという背景も手伝っているように思い ました。

最後に、JETROロンドンのJapan Ship Centreの方々には一連の講演およびプレス対応のコーディネートや様々なサポートをいただきました。この場を借りてお礼申し上げます。

以上

(試験センター技術部 新郷)



実海域における推進抵抗増加率について (試算例)

船舶の静水中の推進抵抗は模型試験や 実船の海上公試運転によって確認される が、それでは風波を伴う実航海時の推進 抵抗はどうなっているのであろうか。こ の課題については、特に実航海時の推進 性能の向上を目的として方々で研究が進 められているが、ここでは内航高速貨物 船(RORO)の航海記録に設計資料と試 運転結果を重ねることにより、実航海中 の抵抗増加率を推定した例を紹介する。

1. 推定方法

抵抗推進に関する基礎的な関係式を①式から④式に示す。これらの関係式を前提とし、かつ、実航海中のデータにはw(waveのw)を、また海上公試運転中の実航海中のデータにはs(smoothのs)を添え字として付して表すこととすれば、(1)式で定義される推進抵抗増加率(実航海時の推進抵抗の海上公試運転時の推進抵抗に対する増加率)は(2)式に置き換えることができる。

2. 推定結果

そこで(2)式を用いて、東京~北海 道間航路に就航している高速内航船(注 1) を対象に、1年間分195航海の航海記録(注2)に基づき抵抗増加率を算出した。その結果を時系列的に表したものが図-1であり、同じ計測結果に基づき抵抗増加率の頻度分布を表したものが図-2である(平均38.7、標準偏差13.8)。

この推定結果によれば、実航海時の推進抵抗は海上公試運転時に比べ通年平均で40%程度大きく、たまには80%増の状態で航海することもあるようである(それ以上の厳しい条件下ではおそらく運航停止になる。)。

3. 課題

推定に用いた航海記録のデータはこのような分析を目的として収集されたものではない。従って、プロペラの翼角や回転数は長時間の航海中の代表値によっている。このような問題は統

計的処理の中で解決されたかについては確認できない。

また、抵抗増加率は、 (1)式の定義に従い、海 上公試運転時(2/3載荷状態)の船体抵抗に対する実 航海の船体抵抗の増加率を示す値である。従って、算出値には海象条件の他に 載荷量の増減分(注3)の影響が含まれ ている。

(注1) モデル船の主要目:全長約 160 m、計画速力23ノット、CPP装備の内航貨物船(RORO船)

(注2) 航海記録のデータ: 平均速力、 プロペラ回転数(代表値)、プロペラ翼 角(代表値)

(注3) モデル船の排水量:満載状態では海上公試運転時(2/3載荷状態)の11.4%増、軽荷状態では同28.0%減

(日本造船技術センター常務理事 松本)

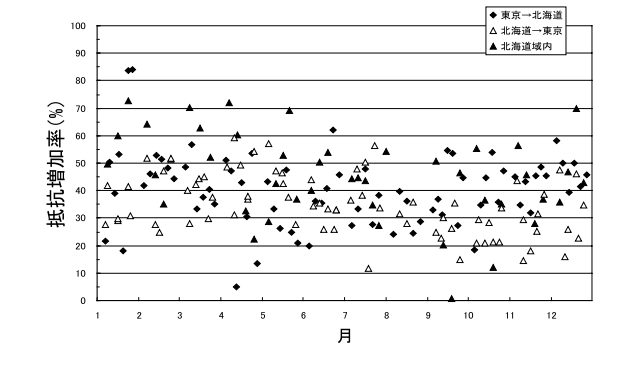


図-1 抵抗増加率



但し、R_w=実航海時の推進抵抗、R_s=海上公試運転時の推進抵抗、

$$r = \left\{ 2 \times \left(\frac{60}{1852} \right)^2 \times \frac{\left(1 - t \right) \cdot \eta_R \cdot K_t \cdot N^2 \cdot D^4}{C_{T_s} \cdot S_s \cdot V^2} - 1 \right\} \times 100 \left[\% \right] \cdots (2)$$

但し、t=推力減少率、 η_R =プロペラ効率比、 K_T =スラスト係数、N=プロペラ回転数 [rpm]、D=プロペラ直径 [m] C_{Ts} =全抵抗係数(海上公試)、 S_s =浸水面積(海上公試) $[m^2]$ 、V=速力 [knot]

$$R = \frac{1}{2} \cdot \rho \cdot C_T \cdot S \cdot \left(\frac{1852 \times V}{3600}\right)^2 \quad [kN] \cdot \dots \cdot \boxed{1}$$

$$T_0 = K_T \cdot \frac{\rho}{3600} \cdot N^2 \cdot D^2 \quad [kN] \cdot \cdots \cdot 2$$

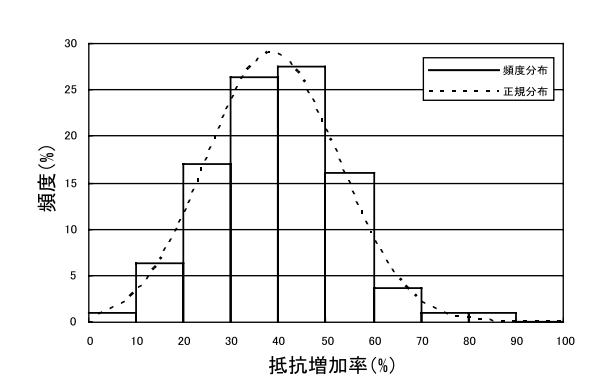


図-2 抵抗増加率の頻度分布(%) (東京〜北海道航路)

Techno-Ocean 2006に参加して

10月18日~20日に神戸国際展示場で開催された「Thecno-Ocean 2006」において、展示会場にブースを出展すると共にシンポジウムで2件の論文を発表しました。Thecno-Oceanは、1986年から2年ごとに開催される海洋・港湾全般に関する国際展示/シンポジウムです。今回の展示会では、60団体がブースを出展しており、最大のブースは海洋研究開発機構(JAMSTEC)のもので、地球深部探査船「ちきゅう」の模型等を展示していました。その他、海洋観測機器メーカーやゼネコン、マリコン、研究機関、大学等が展示を行っていました。

SRCは、マリンフロート推進機構と 共同でブース展示を行いました。前回



(2004) の展示ではメガフロートがメインテーマでしたが、今回は、浮体式洋上風力発電とノンバラスト船、船舶前方監視システムについての展示を行いました。

浮体式洋上風力発電については、パネル展示と共にシンポジウムでも研究成果を発表しました。ノンバラスト船は、試験センターで展示用模型を自作して展示しましたが、来場者からは船全体のイメージが良くわかったとの感想をいただきました。シンポジウムは約180件の論文が集まり、展示会場併設のポスターセッションにおける発表となりました。



委員会等

第3回 SPCG委員会 平成18年9月29日 9:00~12:00 日本造船技術センター本部会議室 第95回 HRC委員会 平成18年9月29日 12:00~17:30 日本造船技術センター本部会議室



新年あけましておめでとうございます。本年もよろしくお願いいたします。 昨年は秋から冬にかけて大変暖かい日 が続きました。20年ぶりの寒さといわ れた一昨年の冬とうってかわった暖冬で、冷え性の筆者にとっては大変有り難い現象でした。

反面、昨年は7月の豪雨、8月の猛暑、 11月の大竜巻等、珍しい気象現象が多かったように感じられます。 大気中のCO2濃度の増加とか地球温暖化とか異常気象とかが言われるようになって久しくなりますが、対策はあまり進んでいないようです。船の世界でも省エネルギーに向けてさらなる技術開発を進める必要があるように感じられます。

(K.M)

申し込みの受付

試験等の申し込み、問い合わせは下記までご連絡をお願いいたします。 〒112-0004 東京都文京区後楽2丁目1番2号

興和飯田橋ビル7階

₹181-0004

TEL 03-3868-7122 東京都三鷹市新川6丁目38番1号 (独) 海上技術安全研究所2号館内 TEL 0422-24-3861



Shipbuilding Research Centre of Japan 財団法人 日本造船技術センター

http://www.srcj.or.jp

本 部(飯田橋)



試験センター (三鷹)

